

急速載荷試験への拡張カルマンフィルターの適用性に関する検討

日特建設 正会員 ○鈴村崇文
山口大学 正会員 麻生稔彦
山口大学 フェロー会員 會田忠義

1. はじめに 急速載荷試験による杭の支持力推定は、その簡便さにより注目されており、わが国における試験実績も増えつつある¹⁾。急速載荷試験結果の解析には除荷点法が用いられているが、地盤の非線形性を仮定して拡張カルマンフィルターを適用する方法も提案されている²⁾。本研究ではこの方法による支持力推定精度向上のために、適切な初期値の決定法および観測の際のノイズが解析に与える影響を検討した。

2. 解析方法 急速載荷試験中の杭の挙動は杭が伸縮しない完全な剛体と仮定すると、図-1に示す1自由度系にモデル化でき、この系の振動方程式は次式となる。

$$m\ddot{y} + c\dot{y} + q(y) = p(t) \quad (1)$$

式(1)中の $q(y)$ は地盤ばねと杭の変位との関係により定まる復元力である。本研究では地盤の復元力特性は非線形であるとし、地盤ばねとして図-2に示す完全弾塑性型の非線形ばねを用いる。このばねの特性値は初期剛性 k と降伏変位 X_e である。式(1)中の復元力 $q(y)$ が図-2の完全弾塑性型で与えられる場合の状態量を次のようにおく。

$$x_1 = y, x_2 = \dot{y}, x_3 = \ddot{y}, x_4 = \dddot{y}, x_5 = \ddot{\dot{y}} \quad (2)$$

式(2)に示す減衰係数および復元力を決定するパラメーターが時間によって変化しないものとすると、状態方程式は次式で与えられる。

$$\frac{dx_i}{dt} = [\dot{x}_1 \quad \dot{x}_2 \quad \dot{x}_3 \quad \dot{x}_4 \quad \dot{x}_5]^T = [x_2 \quad -x_2 x_3 - x_4 q(x_1, x_5) + u \quad 0 \quad 0 \quad 0]^T \quad (3)$$

また、杭頭における変位および速度が観測されるとすれば観測方程式は次式となる。

$$y_n = \begin{bmatrix} 1 & 0 & 0 & 0 & 0 \\ 0 & 1 & 0 & 0 & 0 \end{bmatrix} [x_1 \quad x_2 \quad x_3 \quad x_4 \quad x_5]^T \quad (4)$$

式(3)および式(4)を拡張カルマンフィルターのアルゴリズムに適用して未知のパラメーターを推定する。この推定にあたっては初期値を入力する必要があるが、妥当な推定値を得るために適切な推定値を入力する必要がある。また、観測値に含まれる観測ノイズの影響についても、あらかじめ評価しておかなければならぬ。

3. 初期値および観測ノイズ 本研究では拡張カルマンフィルターに用いる初期値の決定法として、復元力特性が線形であると見なし線形解析を行うことで、減衰係数および地盤ばね定数の推定を行い、これらの推定値を初期値として用いる方法を提案する。この初期値決定の線形解析に使用するデータの範囲を決定するために、図-3に示すType1～Type2の解析を行う。一方、観測ノイズは観測された最大変位および最大速度のそれぞれ5%、3%、1%の場合について検討した。

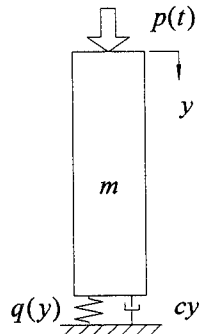


図-1 解析モデル

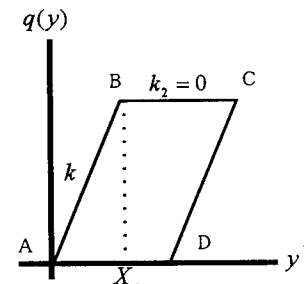


図-2 完全弾塑性型の履歴曲線

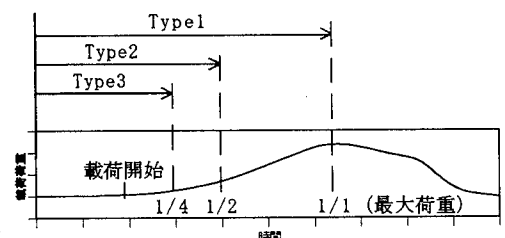


図-3 初期線形解析での入力観測値の設定

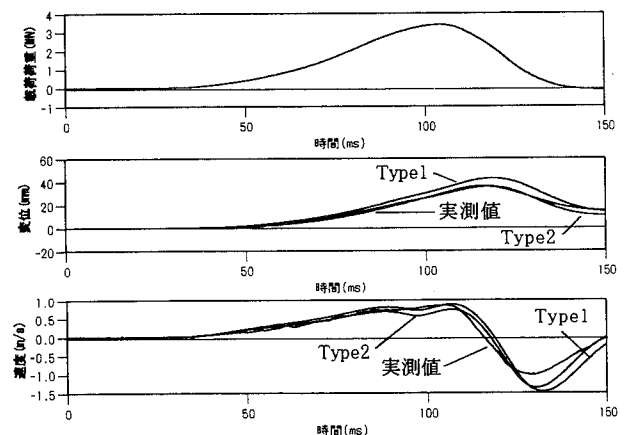


図-4 鋼管杭の観測波形と解析値の比較

4. 解析結果 解析結果の例とし

て外径 400mm、杭長 13.0m、管厚 12mm の鋼管杭について示す。図-4 は急速載荷試験によって得られた杭頭荷重、杭頭変位および杭頭速度の時刻歴である。初期値を決定するために行った線形解析の推定値を初期値として、非線形復元力特性の推定を行った結果を表-1 に示す。この杭では各 Type で異なる

値を推定する結果となった。しかし、観測ノイズによる推定値への影響は少ない。Type3 では降伏変位の推定値が負となり、初期剛性もほぼ 0 となっている。これは、初期線形解析を行う際に用いた観測波形の範囲が短すぎたため、非線形解析の初期値としては適当でないためと考えられる。Type1 と Type2 で推定されたパラメーターを用いて応答解析を行った結果を図-4 中に示す。また、荷重-変位関係を実測値と比較して図-5 に示す。これらより、Type1 より Type2 の方がよく一致している。これは、Type1 の範囲では杭頭速度が最大荷重作用時前に増加から減少し、さらに増加に転じている。Type1 ではこの観測値の影響を受けたものと考えられる。

繰り返し計算中の観測ノイズ 1% 時の Type 別によるパラメーターの収束状況を図-6 に示す。Type1 および Type2 では 20 回程度の繰り返し計算で収束しているが、Type3 では各パラメーターともに変動している。図-7 に Type2 での観測ノイズの大きさ別によるパラメーターの収束状況を示す。観測ノイズを変えてても、パラメーターの収束状況には差がない結果となった。

図-8 はパラメーター推定を行った鋼管杭について実施された静的載荷試験による荷重-沈下関係と、今回の解析結果を比較したものである。静的載荷試験結果の荷重-沈下曲線よ

り、この杭の第 1 限界荷重は 2.55MN であり、第 2 限界荷重は 3.15MN である。これに対して、解析で得られた降伏荷重は 2.84MN である。解析結果は第 1 限界荷重と第 2 限界荷重のほぼ中間の値を与えている。

5. おわりに あらかじめ線形のばね特性を推定することにより、これを非線形ばね特性を推定するための初期値として使用できると考えられる。さらに、今回仮定した程度の観測ノイズでは推定値への影響は少ないことが明らかとなった。

参考文献 1) 杭の急速載荷試験法研究委員会、杭の急速載荷試験の載荷メカニズムと適用性、地盤工学会、1999、2) 麻生他、杭の急速載荷試験への拡張カルマンフィルターの適用性に関する検討、土木学会論文集 No. 673 / III-54, pp. 133-141, 2001

表-1 非線形解析結果

| データー範囲 | | | Type1 | | | Type2 | | | Type3 | | | |
|---------------|-----------|-------|-----------|-------|-------|-------|--------|--------|--------|--------|--------|--------|
| 初期値 | 観測ノイズ | 5% | 3% | 1% | 5% | 3% | 1% | 5% | 3% | 1% | | |
| | c(MNs/cm) | 2.23 | 2.23 | 2.23 | 1.57 | 1.57 | 1.57 | 0.52 | 0.52 | 0.52 | | |
| | k(MN/cm) | 60.06 | 60.06 | 60.06 | 99.94 | 99.94 | 99.94 | 237.25 | 237.25 | 237.24 | | |
| 初期共分散 | | | Xe(cm) | 1.0 | 1.0 | 1.0 | 1.0 | 1.0 | 1.0 | 1.0 | 1.0 | |
| 観測ノイズ | | | c/m | 100 | 100 | 100 | 100 | 100 | 100 | 100 | 100 | |
| 速度 | | | k/m | 100 | 100 | 100 | 100 | 100 | 100 | 100 | 100 | |
| 解析結果 | | | Xe | 100 | 100 | 100 | 100 | 100 | 100 | 100 | 100 | |
| 推定値 (50回目) | | | c(MNs/cm) | 1.51 | 1.51 | 1.51 | 0.68 | 0.68 | 0.68 | 5.44 | 5.44 | |
| | | | k(MN/cm) | 98.32 | 98.31 | 98.32 | 122.92 | 122.92 | 122.92 | 1E-09 | 1E-08 | 7E-04 |
| | | | Xe(cm) | 3.38 | 3.41 | 3.44 | 2.31 | 2.31 | 2.31 | -1E+12 | -1E+12 | -3E+05 |

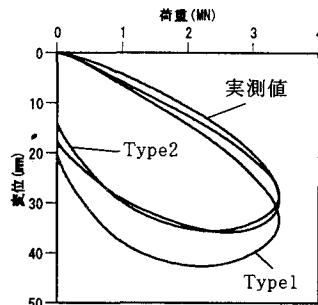


図-5 荷重-変位関係

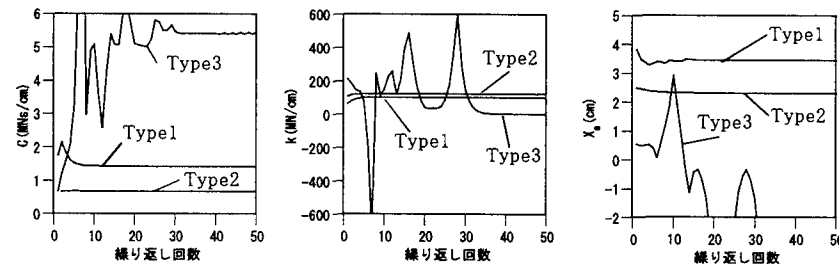


図-6 Type 別のパラメーターの収束状況

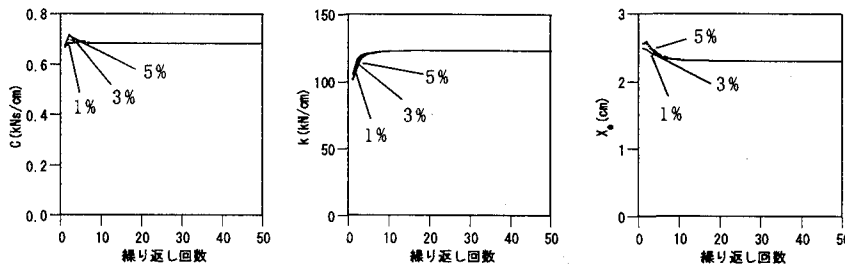


図-7 観測ノイズ別のパラメーターの収束状況

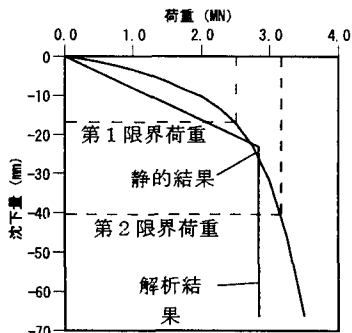


図-8 静的載荷試験との比較